

RMN-<sup>13</sup>C DE COMPLEXOS DE INCLUSÃO DA  $\beta$ -CICLODEXTRINA COM ÁCIDO FENILPROPIÓLICO E ÁCIDOS CINÂMICOS.

Sebastião F. Fonseca \* e Oswaldo L. Alves

Instituto de Química, Universidade  
Estadual de Campinas, C.P. 6154,  
CEP 13081, Campinas, SP, Brasil.

<sup>13</sup>C-NMR OF INCLUSION COMPLEXES OF  $\beta$ -CYCLODEXTRIN WITH PHENYLPROPIOLIC AND CINNAMIC ACIDS.

Recebido em 10/05/89

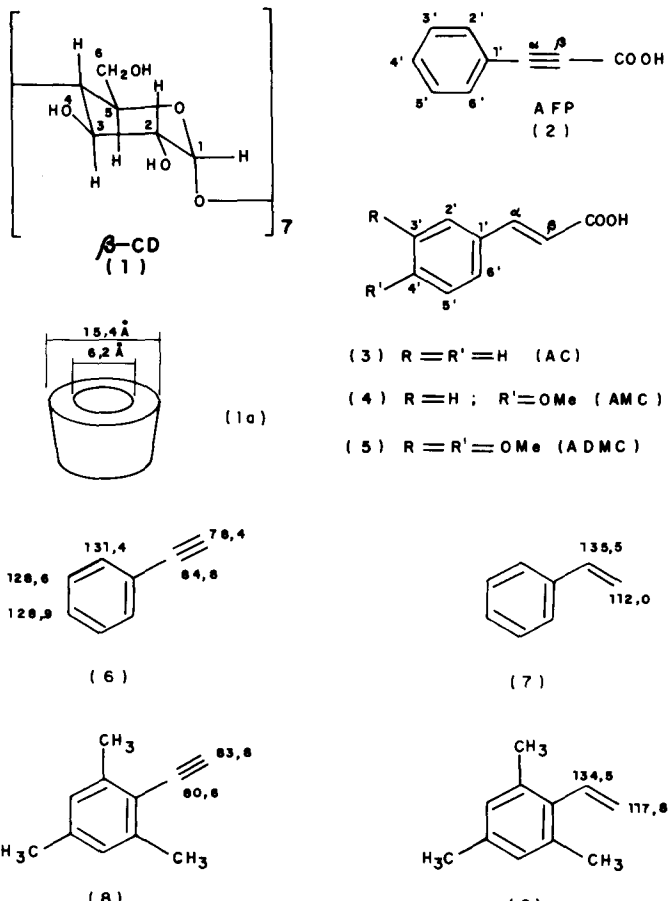
Abstract:

The <sup>13</sup>C-NMR analysis of the inclusion complexes of  $\beta$ -cyclodextrin with phenylpropionic and cinnamic acids, previously characterized by chemical and physical methods, showed that the complexation affects more significantly the chemical shift of a triple bond carbon.

A  $\beta$ -ciclodextrina (1) é um oligossacarídeo que contém sete unidades de glicose. A principal característica da  $\beta$ -ciclodextrina é apresentar uma cavidade (1a), onde podem ser "recebidos" vários tipos de moléculas formando os chamados complexos de inclusão ou complexos hospedeiro-convidado<sup>1</sup>. A admissão do convidado na cavidade do hospedeiro ocorre sem formação de ligação covalente.

O complexo de inclusão,  $\beta$ -CD.AFP, da  $\beta$ -ciclodextrina (1),  $\beta$ -CD, preparado com o ácido fenilpropiólico (2), AFP, foi caracterizado através de análise química, análise térmica, espectroscopia de infravermelho e difração de raios-X, técnicas que foram aplicadas também aos componentes individuais e à respectiva mistura mecânica<sup>2</sup>. O complexo preparado com  $\beta$ -ciclodextrina e ácido cinâmico (3),  $\beta$ -CD.AC, foi caracterizado da mesma maneira e os resultados obtidos mostraram que nos dois complexos de inclusão a relação hospedeiro-convidado é de 1:1<sup>3</sup>.

A análise de RMN-<sup>13</sup>C mostrou que os deslocamentos químicos da  $\beta$ -ciclodextrina no complexo  $\beta$ -CD.AFP foram afetados nas posições 1, 3, 4, 5 e 6, apresentando proteção de 0,10 e 0,27 ppm (Tabela 1), enquanto C-2 praticamente não sofreu alteração. No ácido fenilpropiólico complexado, os carbonos do grupo fenila C-2' (C-6'), C-3' (C-5') e C-4' mostraram leve desproteção (0,05 a 0,12 ppm). Esses resultados, similares a anteriores, confirmaram a obtenção do complexo<sup>4</sup>. Entretanto, mudança significativa foi observada no deslocamento químico de um dos carbonos da ligação tripla, onde C- $\beta$  apresentou proteção de 2,54 ppm em relação ao mesmo carbono do ácido livre. O sinal de



C- $\beta$  foi visualizado claramente no espectro do complexo enquanto que na mistura mecânica, que mostrou apenas as absorções correspondentes aos componentes individuais, aquele sinal foi encoberto pela absorção do carbono-4 da  $\beta$ -ciclodextrina (Tabela 1).

A comparação dos deslocamentos químicos do complexo com o ácido cinâmico ( $\beta$ -CD.AC) com os do ácido livre (Tabela 2) mostrou que os carbonos do sistema olefínico não foram muito afetados pela complexação, cujo efeito foi detectado no complexo  $\beta$ -CD.AFP também por espectroscopia de infravermelho<sup>2</sup>.

A possibilidade de que grupos substituintes no anel aromático pudessem ter alguma influência no efeito de complexação levou-nos a preparar os complexos com os ácidos 4-metoxicinâmico (4), AMC, e 3,4-dimetoxicinâmico (5), ADMC. As técnicas analíticas usadas na caracterização do complexo  $\beta$ -CD.AFP indicaram a formação dos complexos também com os ácidos 4 e 5, corroborada pelos deslocamentos químicos da  $\beta$ -ciclodextrina<sup>4</sup> (Tabela 3), enquanto que os dos carbonos dos grupos fenila mostraram a mesma tendência (desproteção) nos três ácidos (Tabela 2). Porém, os deslocamentos químicos da ligação dupla carbono-carbono não mos-

Tabela 1. Deslocamentos químicos ( $\pm 0,05$  ppm) da  $\beta$ -ciclodextrina ( $\beta$ -CD), do ácido fenil propiólico (AFP) e do complexo  $\beta$ -CD.AFP<sup>a,b</sup>.

Carbono	$\beta$ -CD	$\beta$ -CD.AFP	AFP <sup>c</sup>	$\beta$ -CD.AFP	
$\beta$ -CD	(AFP)	( $\delta$ )	( $\Delta\delta$ )	( $\delta$ )	( $\Delta\delta$ )
1	(1')	102,29	-0,15	119,10	-0,03
2	(2';6')	72,62	+0,02	129,06	+0,12
3	(3';5')	73,46	-0,18	132,63	+0,05
4	(4')	81,89	-0,10	130,94	+0,09
5	( $\alpha$ )	72,51	-0,21	84,65	+0,02
6	( $\beta$ )	60,52	-0,27	81,91	-2,54
(C=O)	-	-	154,34	+0,11	

a) Os espectros foram obtidos em um instrumento Varian XL-100 operando a 25,2 KHz, à temperatura ambiente, com cerca de 0,4 mmol de amostra dissolvida em DMSO.

b) Os sinais + e - indicam desproteção e proteção, respectivamente.

c) As correlações de C-2'/C-6' e C-3'/C-5' de 2, na referência 5, onde o autor usou valores de  $J_{CC}$  pequenos e aproximados, podem estar trocadas, considerando os valores correspondentes do fenilacetileno (6). Técnicas bidimensionais (HOMOCOSY e HETCOSY) poderão solucionar definitivamente a questão.

Tabela 2. Deslocamentos químicos ( $\pm 0,05$  ppm) de ácidos cinâmicos (AC, AMC e ADMC) e seus complexos com a  $\beta$ -ciclodextrina ( $\beta$ -CD) em DMSO<sup>a</sup>.

C	AC	$\beta$ -CD.AC	AMC	$\beta$ -CD.AMC	ADMC	$\beta$ -CD.ADMC
	( $\delta$ )	( $\Delta\delta$ )	( $\delta$ )	( $\Delta\delta$ )	( $\delta$ )	( $\Delta\delta$ )
1'	134,27	+0,01	126,89	+0,01	127,15	+0,01
2'	128,19	+0,12	129,90	+0,12	111,65	+0,01
3'	128,94	+0,10	114,41	+0,08	149,08	0,00
4'	130,23	+0,07	160,95	+0,03	150,86	+0,02
5'	128,94	+0,10	114,41	+0,08	110,52	+0,05
6'	128,19	+0,12	129,90	+0,12	122,61	+0,14
$\alpha$	143,97	-0,03	143,77	+0,09	144,19	+0,09
$\beta$	119,26	+0,15	116,59	+0,03	116,78	+0,05
C=O	167,58	+0,13	167,86	+0,02	167,90	+0,09
OMe	-	-	55,35	+0,18	55,71	+0,10

a) Mesmas condições da Tabela 1.

Tabela 3. Deslocamentos químicos ( $\pm 0,05$  ppm) da  $\beta$ -ciclodextrina ( $\beta$ -CD) e de seus complexos com ácidos cinâmicos (AC, AMC e ADMC) em DMSO<sup>a</sup>.

C	$\beta$ -CD	$\beta$ -CD.AC	$\beta$ -CD.AMC	$\beta$ -CD.ADMC
	( $\delta$ )	( $\Delta\delta$ )	( $\Delta\delta$ )	( $\Delta\delta$ )
1	102,29	-0,14	-0,20	-0,10
2	72,62	-0,01	-0,03	-0,05
3	73,46	-0,16	-0,21	-0,12
4	81,89	-0,12	-0,17	-0,09
5	72,51	-0,20	-0,27	-0,18
6	60,52	-0,28	-0,14	-0,23

a) Mesmas condições da Tabela 1.

traram mudanças comparáveis ao efeito observado no complexo  $\beta$ -CD.AFP.

A explicação para estes resultados está relacionada com a diferença de comportamento dos sistemas sp e  $sp^2$  frente a interações espaciais, ou estéricas, como é possível observar pela comparação dos deslocamentos químicos do fenilacetileno (6) e do estireno (7) com os de 8 e 9<sup>6a,7a</sup>.

Os compostos 8 e 9 apresentam diferença de densidade eletrônica no anel aromático, em relação a 6 e 7, devido aos efeitos indutivo e de hiperconjugação dos grupos metila. Entretanto, grupos substituintes nas posições orto afetam os deslocamentos químicos do sistema insaturado adjacente ao anel aromático também por interações espaciais (efeito  $\gamma$ )<sup>6b</sup>, que podem inibir a conjugação com o anel<sup>7b,8</sup>.

A presença de grupos metila nas posições 2, 4 e 6 do anel aromático ocasiona uma desproteção de cerca de 5,5 ppm nos carbonos terminais de 8 e 9. Todavia, no sistema acetilênico de 8 ocorre proteção de 4,2 ppm no carbono adjacente ao anel aromático, enquanto que no sistema olefínico de 9 a proteção é de apenas 1,0 ppm.

Situação semelhante parece ocorrer nos complexos com a  $\beta$ -ciclodextrina. Ao entrar na cavidade dos hospedeiro, os carbonos do anel benzênico do ácido fenilpropiólico não sofreram perturbações consideráveis, de acordo com os dados de RMN-<sup>13</sup>C. Por outro lado, embora os sistema olefínico e acetilênico, nesses complexos, possam apresentar interações espaciais com a borda da cavidade dos hospedeiro, os deslocamentos químicos dos carbonos do sistema olefínico dos ácidos 3, 4

e 5 mostraram apenas pequenas modificações (0,03 a 0,15 ppm). Contudo, a complexação afetou significativamente o deslocamento químico do carbono- $\beta$  do ácido fenilpropiólico (2) que, no complexo  $\beta$ -CD.AFP, apresentou proteção de 2,5 ppm em relação ao ácido livre.

Apesar dos compostos estirênicos e fenilacetilênicos serem de natureza completamente diferente dos complexos da  $\beta$ -ciclodextrina, o comportamento dos sistemas sp e sp<sup>2</sup>, com relação a efeitos espaciais, segue a mesma tendência nos dois casos.

Portanto, nos complexos de inclusão com a  $\beta$ -ciclodextrina, o ácido fenilpropiólico apresenta um efeito de complexação, refletido no deslocamento químico do carbono- $\beta$ , mais acentuado que no carbono correspondente dos ácidos cinâmicos.

Este trabalho faz parte de um projeto mais abrangente de preparação e caracterização de complexos de ciclodextrinas e derivados, com ácidos arilpropiólicos e com grupos de substâncias sintéticas e naturais, que serão estudados também por RMN-<sup>13</sup>C.

#### Agradecimentos:

Os autores agradecem os comentários e as sugestões dos assessores.

#### Referências:

1. Saenger, W., Angew. Chem. (1980) 19, 344.
2. Alves, O.L., and Fonseca, S.F., J. Incl. Phenom. (1989) 7, 589.
3. Uekama, K., Otagiri, M., Kanie, Y., Tanaka, S., and Ykeda, K., Chem. Pharm. Bull. (1975) 23, 1421.
4. Uekama, K., Hirayama, F., Matsuo, N., and Koinuma, H., Chem. Lett. (1978) 703.
5. Chaloner, J.A., J. Chem. Soc. Perkin II (1980) 1028.
6. a) Stothers, J.B.: "Carbon-13 NMR Spectroscopy", Academic Press, New York (1972) p. 87; b) idem, p. 202-203.
7. a) Breitmaier, E., and Voelter, W.: "<sup>13</sup>C-NMR Spectroscopy", Verlag Chemie, Weinheim (1974) p. 172-173; b) idem, 3<sup>a</sup> ed. (1987) p. 116.
8. Wehrli, F.W., and Wirthlin, T.: "Interpretation of Carbon-13 NMR Spectra", Heiden & Son, London (1976) p. 33-34.